

## • 临床研究 •

# 尿肝型脂肪酸结合蛋白预测慢性肾小球肾炎进展的价值

徐维佳 李佳琳 王琴 施蓓莉 牟姗 倪兆慧

**【摘要】目的** 评估尿肝型脂肪酸结合蛋白(L-FABP)预测慢性肾小球肾炎(CGN)病情进展的临床价值。**方法** 前瞻性入选2004年1月至2005年12月期间在我院行肾穿刺活检明确病理诊断的原发性CGN患者123例为对象,另选28例年龄、性别匹配的健康志愿者为对照。用酶联免疫吸附法检测肾穿刺前新鲜尿液L-FABP含量,同时常规检测各项血液及尿液指标。对所有患者进行5年随访,每3个月随访1次,在随访结束时分为疾病进展组和非进展组,评估影响CGN进展的危险因素。**结果** 与对照组相比,CGN患者尿L-FABP均值明显升高( $P < 0.01$ )。尿L-FABP与估计肾小球滤过率(eGFR)呈负相关( $r = -0.565, P < 0.01$ );与尿蛋白量( $r = 0.501, P < 0.01$ )和Scr( $r = 0.601, P < 0.01$ )呈正相关。Kaplan-Meier分析显示,尿L-FABP>76.58 μg/g·cr的CGN患者的预后显著变差。尿L-FABP预测CGN进展的ROC曲线下面积(AUC)为0.95。尿L-FABP为119.8 μg/g·cr时,其敏感性为87.5%,特异性为90.5%。**结论** 尿L-FABP可作为监测慢性肾小球肾炎疾病进展的新生物学标记物。

**【关键词】** 脂肪酸结合蛋白质类; 肾小球肾炎; 生物学标记

**Value of urinary liver-type fatty acid binding protein in prediction of renal function progression in patients with chronic glomerulonephritis** XU Wei-jia, LI Jia-lin, WANG Qin, SHI Bei-li, MOU Shan, NI Zhao-hui. Renal Division, Renji Hospital, Shanghai Jiaotong University School of Medicine, Shanghai 200127, China

*Corresponding author:* MOU Shan, Email: shan\_mou@126.com

**【Abstract】 Objective** To evaluate the value of urinary liver-type fatty acid binding protein (L-FABP) as a biomarker in prediction of renal function progression in patients with chronic glomerulonephritis (CGN). **Methods** A total of 123 patients with newly diagnosed CGN by renal biopsy in Shanghai Renji Hospital between 2004 January and 2005 December were enrolled in the study. Twenty-eight healthy subjects were used as control group. Urine samples were collected before biopsy and treatment, and urinary L-FABP was measured by ELISA. The patients with follow-up every three months for 5 years were divided into progressive group and non-progressive group. The progression of kidney function impairment was defined as a reduction of  $GFR \geq 5 \text{ ml} \cdot \text{min}^{-1} \cdot (1.73 \text{ m}^2)^{-1} \cdot \text{year}^{-1}$  during follow-up. The risk factors of progressive renal function were evaluated and the Spearman correlation analysis was performed to find out the prognostic indicator of renal function deterioration. **Results** Urinary L-FABP level of CGN patients was significantly higher than that of healthy control group ( $P < 0.01$ ). Urinary L-FABP in CGN patients was negatively correlated with eGFR ( $r = -0.565, P < 0.01$ ) and positively correlated

DOI: 10.3760/cma.j.issn.1001-7097.2012.04.005

基金项目:国家自然科学基金(81102700);教育部留学回国人员科研启动基金(教外司留[2010]1174号);973课题(2012CB517602);上海市科委中医药现代化专项资金(09dz1973600);上海市科委基础重点项目(10JC1410100);上海市卫生局科研基金(2010L063A)

作者单位:200127 上海交通大学医学院附属仁济医院肾内科

通信作者:牟姗,Email: shan\_mou@126.com

with proteinuria ( $r=0.501$ ,  $P<0.01$ ) and Scr ( $r=0.601$ ,  $P<0.01$ )。Kaplan-Meier analysis showed that urinary L-FABP excretion  $>76.58 \mu\text{g/g} \cdot \text{cr}$  predicted progression of renal function。The AUC of urinary L-FABP for prognosis of CGN progression was 0.95, with 87.5% of sensitivity and 90.5% of specificity at the cutoff value of  $119.8 \mu\text{g/g} \cdot \text{cr}$ , which revealed its great value of predicting the prognosis of CGN patients。Conclusion Urinary L-FABP can be a novel biomarker of evaluation for renal injury and early progressive renal function deterioration in patients with CGN。

**【Key words】** Fatty acid-binding proteins; Glomerulonephritis; Biomarker

慢性肾小球肾炎(CGN)是常见的慢性肾脏病(CKD),常可发展为终末期肾病(ESRD)。早期干预有助于延缓肾功能下降,改善预后。然而,目前极少可用于监测 CKD 并预测其进展的临床标志物。肝型脂肪酸结合蛋白(L-FABP)对急性肾损伤(AKI) 的早期诊断有潜在价值,而 L-FABP 对 CKD 病情进展的预测价值却罕有报道。本研究探讨尿 L-FABP 在评估 CGN 进展中的临床意义。

## 对象与方法

1. 对象:选取 2004 年 1 月至 2005 年 12 月期间,在我院行肾穿刺活检,明确病理类型的原发性 CGN 患者 123 例为对象,男 48 例,女 75 例,平均年龄( $51.59 \pm 7.52$ )岁;排除有并发症、近期感染史、其他继发性肾病的患者。同时选取 28 例健康人为对照组,对照组的性别、年龄与 CGN 组差异无统计学意义。

2. 尿 L-FABP 测定:留取研究对象的新鲜尿液标本,尿液采集于肾活检前(治疗开始前)的清晨,以  $1000 \text{ r/min}$  离心  $5 \text{ min}$ ,置于  $-80^\circ\text{C}$  冰箱保存待测。用酶联免疫吸附法(ELISA)检测尿液标本的 L-FABP 排泄量,以  $\mu\text{g/g} \cdot \text{cr}$  为单位。

3. 其他指标:包括血脂四项、全血细胞测定、血浆白蛋白(Alb)、Scr、血尿酸(UA)、BUN、 $24 \text{ h}$  尿蛋白量、尿 N-乙酰- $\beta$ -D-氨基葡萄糖苷酶(NAG),使用标准实验室程序测定。

4. 估计肾小球滤过率(eGFR):用 MDRD 公式计算,并以人体表面积校正。按 KDIGO(2009) CKD 分期标准,30 例为 CKD1 期,36 例为 2 期,21 例为 3 期,6 例为 4 期,30 例为 5 期。

5. 随访:所有 CGN 患者均随访 5 年,期间每 3 个月在肾脏病门诊部随访 1 次,观察患者血、尿指标变化,计算 eGFR 值。将每年 eGFR 值下降  $\geq 5 \text{ ml} \cdot \text{min}^{-1} \cdot (1.73 \text{ m}^2)^{-1}$  或在随访期间开始接受肾脏替代治疗定义为疾病进展组,而 eGFR 稳定或

下降未达上述标准者定义为非进展组。

6. 药物干预情况:74 例高血压患者(血压  $\geq 140/90 \text{ mmHg}$  或使用抗高血压药物)研究期间使用抗高血压药物(利尿剂、钙通道阻滞剂),目标血压  $<130/80 \text{ mm Hg}$ ;当尿蛋白量  $>1.0 \text{ g}/24 \text{ h}$  时,则  $<125/75 \text{ mm Hg}$ 。25 例患者接受他汀类药物治疗。

7. 统计分析:计量资料以  $\bar{x} \pm s$  表示;计数资料用中位数或百分比。两组患者人口学统计、化验指标值差异用  $t$  检验;两组数据百分比的比较用  $\chi^2$  检验;相关性用 Spearman 相关分析。用 Cox 分析检验与 eGFR 下降相关的危险因素。绘制尿 L-FABP 对诊断预测 CGN 进展的 ROC 曲线,计算 ROC 曲线下面积(AUC)。患者存活率使用 Kaplan-Meier 生存曲线分析。用 SPSS 13.0 软件包进行统计处理,以双侧  $P<0.05$  作为差异有统计学意义。

## 结 果

1. 生化指标:123 例平均 Scr ( $200.18 \pm 138.69$ )  $\mu\text{mol/L}$ , 血 UA ( $413.48 \pm 65.41$ )  $\mu\text{mol/L}$ , Hb ( $113.19 \pm 27.18$ )  $\text{g/L}$ , Alb ( $34.51 \pm 3.63$ )  $\text{g/L}$ , 三酰甘油(TG) ( $2.08 \pm 0.79$ )  $\text{mmol/L}$ , 总胆固醇(TC) ( $5.57 \pm 1.04$ )  $\text{mmol/L}$ , 高密度脂蛋白 ( $1.35 \pm 0.19$ )  $\text{mmol/L}$ , 低密度脂蛋白 ( $3.57 \pm 0.78$ )  $\text{mmol/L}$ , 血清铁蛋白 ( $226.47 \pm 90.22$ )  $\mu\text{g/L}$ , 尿蛋白量 ( $2.24 \pm 2.71$ )  $\text{g}/24 \text{ h}$ , C 反应蛋白 (CRP) ( $13.16 \pm 6.71$ )  $\text{mg/L}$ , eGFR ( $61.17 \pm 21.96$ )  $\text{ml} \cdot \text{min}^{-1} \cdot (1.73 \text{ m}^2)^{-1}$ , 尿 NAG ( $4.2 \pm 1.7$ )  $\text{U/g} \cdot \text{cr}$ , 尿 L-FABP ( $76.58 \pm 34.61$ )  $\mu\text{g/g} \cdot \text{cr}$ 。其中 Scr、白蛋白、铁蛋白、尿蛋白量、CRP、eGFR、L-FABP 与健康对照组差异有统计学意义。

2. 肾脏病理:IgA 肾病 36 例,系膜增生性肾小球肾炎 12 例,局灶节段性肾小球硬化 9 例,微小病变 24 例,膜性肾病 9 例,肾小球硬化症 33

例。

3. 尿 L-FABP 水平及相关分析：与健康对照组比较，CGN 患者入选时的尿 L-FABP 量均显著升高 [( $76.58 \pm 34.61$ ) 比 ( $20.12 \pm 3.69$ )  $\mu\text{g/g} \cdot \text{cr}$ ,  $P < 0.01$ ]。进展组为 ( $159.41 \pm 9.16$ )  $\mu\text{g/g} \cdot \text{cr}$ ，非进展组为 ( $41.71 \pm 11.07$ )  $\mu\text{g/g} \cdot \text{cr}$ ，两者差异有统计学意义 ( $P < 0.01$ )。Spearman 相关分析显示，尿 L-FABP 和 eGFR 呈负相关 ( $r = -0.565$ ,  $P < 0.01$ )；与尿蛋白 ( $r = 0.501$ ,  $P = 0.018$ ) 和 Scr ( $r = 0.601$ ,  $P = 0.001$ ) 均呈正相关。

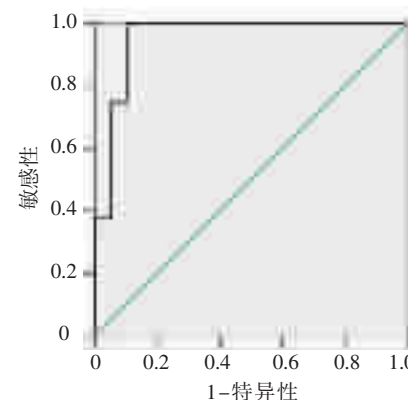
4. CGN 进展的危险因素分析及尿 L-FABP 的预测价值：随访结束时，CGN 患者中 36 例符合疾病进展的诊断标准，余 87 例为非进展组。进展组和非进展组间差异有统计学意义的危险因素包括男、高 Scr、高 UA、低 Hb、低 TG、高血清铁蛋白、高尿蛋白、低 eGFR、高尿 L-FABP，而其他指标的差异无统计学意义，见表 1。

表 1 CGN 进展组和非进展组的疾病进展危险因素比较

项目	进展组( $n=36$ )	非进展组( $n=87$ )	$P$ 值
男/女(男%)	27/9(75.0)	21/66(24.1)	<0.05
Scr( $\mu\text{mol/L}$ )	$623.91 \pm 126.69$	$113.60 \pm 26.23$	<0.01
UA( $\mu\text{mol/L}$ )	$521.03 \pm 30.12$	$371.23 \pm 22.00$	<0.01
Hb( $\text{g/L}$ )	$90.25 \pm 7.25$	$122.68 \pm 4.10$	<0.01
TG( $\text{mmol/L}$ )	$1.30 \pm 0.22$	$2.42 \pm 0.32$	<0.01
血铁蛋白( $\mu\text{g/L}$ )	$323.07 \pm 70.99$	$173.35 \pm 26.31$	<0.01
尿蛋白量( $\text{g}/24\text{ h}$ )	$4.00 \pm 1.17$	$1.36 \pm 0.17$	<0.01
eGFR	$18.81 \pm 8.04$	$79.33 \pm 6.89$	<0.01
L-FABP( $\mu\text{g/g} \cdot \text{cr}$ )	$159.41 \pm 9.16$	$41.71 \pm 11.07$	<0.01

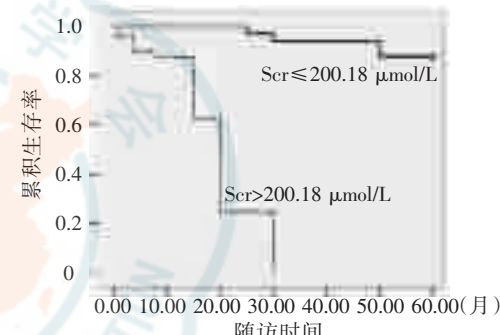
注：eGFR 单位： $\text{ml} \cdot \text{min}^{-1} \cdot (1.73 \text{ m}^2)^{-1}$

以上危险因素与疾病进展行 Spearman 相关分析结果显示，疾病进展与研究初始的 Scr ( $r = 0.59$ ,  $P < 0.01$ )、血 UA ( $r = 0.46$ ,  $P < 0.019$ )、24 h 尿蛋白量 ( $r = 0.47$ ,  $P < 0.022$ )、尿 L-FABP ( $r = 0.43$ ,  $P < 0.01$ ) 呈正相关；与 eGFR ( $r = -0.52$ ,  $P < 0.01$ ) 呈负相关。多元回归分析表明，初始尿 L-FABP [Exp(B) 8.044,  $P = 0.039$ , 5%~95% 置信区间 (CI) 1.105~58.549] 和 Scr 值 [Exp(B) 1.005,  $P = 0.016$ , 5%~95% CI 1.001~1.009] 的升高，可以预测疾病进展。绘制尿 L-FABP 对预测 CGN 进展的 ROC 曲线，AUC 为 0.95；尿 L-FABP 为  $119.8 \mu\text{g/g} \cdot \text{cr}$  时，其敏感性为 87.5%，特异性为 90.5%，见图 1。生存曲线显示，当 Scr> $200.18 \mu\text{mol/L}$ ，尿



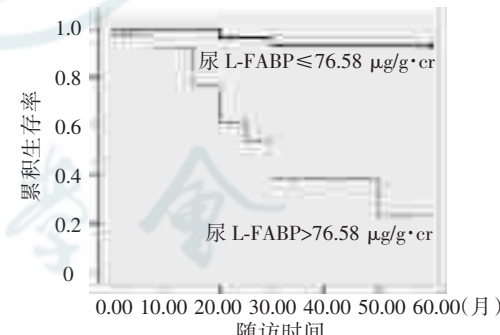
注：AUC 为 0.95；以  $119.8 \mu\text{g/g} \cdot \text{cr}$  为临界点，敏感性为 87.5%，特异性为 90.5%

图 1 尿 L-FABP 预测 CGN 疾病进展的 ROC 曲线



注：提示 Scr> $200.18 \mu\text{mol/L}$  与不良预后相关

图 2 CGN 患者的初始 Scr 与累积生存率



注：提示尿 L-FABP> $76.58 \mu\text{g/g} \cdot \text{cr}$  与不良预后相关

图 3 CGN 患者初始尿 L-FABP 水平与累积生存率

L-FABP> $76.58 \mu\text{g/g} \cdot \text{cr}$  时，患者生存率显著降低，预后较差，见图 2, 图 3。

## 讨 论

研究表明，慢性肾小球疾病的进展很大程度上取决于肾小管间质的损伤<sup>[1]</sup>。游离脂肪酸来源于白蛋白，可能是大量蛋白尿导致肾小管间质损

伤的关键机制<sup>[2]</sup>。在大量蛋白尿的情况下,游离脂肪酸在近端小管呈超负荷,并诱导炎性细胞因子表达,从而加重肾小管间质的损伤<sup>[3]</sup>。L-FABP 是一种细胞内游离脂肪酸的小分子携带蛋白,主要由肝脏表达,在肾脏近端小管也有表达。近端小管负荷的游离脂肪酸与细胞质中的脂肪酸结合蛋白(FABP)相结合,转运至线粒体或过氧化物酶<sup>[4]</sup>。由此,L-FABP 可调节游离脂肪酸代谢,并可能是维持游离脂肪酸在胞质内环境稳定的一个关键的调节因子。

L-FABP 最早发现于肝细胞,肾脏近曲小管上皮细胞亦表达<sup>[5]</sup>。临床研究证实,L-FABP 是预测 AKI 的有效生物标志物<sup>[6-7]</sup>。Nakamura 等<sup>[8]</sup>报道,尿 L-FABP 水平在过敏性休克患者中显著升高,认为可能与肾小管损伤反应有关。Kamijo 等<sup>[9]</sup>发现,尿 L-FABP 与肾小管间质损伤的严重程度相关。肾功能恶化患者的尿 L-FABP 水平显著升高,提示尿 L-FABP 可能也是预测 CKD 进展的生物学指标<sup>[10]</sup>。野生小鼠近端肾小管不表达 L-FABP。

Kamijo 等<sup>[9]</sup>以人类 L-FABP 基因转染小鼠,结果显示近端小管压力超负荷,导致小管间质损伤,诱导 L-FABP 基因的表达上调,并加速近端小管对 L-FABP 的排泄。因此,在肾功能恶化患者的近端肾小管中,L-FABP 基因表达和尿 L-FABP 排泄量均随着肾功能不全的进展而升高。

本研究结果表明,CGN 患者的尿 L-FABP 排泄量显著高于健康人群,表明尿 L-FABP 是反映肾脏疾病的参数之一,而肾功能恶化进展患者的尿 L-FABP 又显著高于无进展的患者。在本研究中,随着肾功能不全的进展,尿 L-FABP、尿蛋白、Scr 水平明显升高,eGFR 下降,而尿 NAG 水平却仍保持恒定。研究证明尿蛋白或尿白蛋白水平在肾小球结构损伤后升高,尿 NAG 则在近端小管发生结构性损伤后升高<sup>[11]</sup>。由于肾脏疾病时近端小管的 L-FABP 表达上调,尿 L-FABP 可能在细胞结构发生改变时就开始升高,因此,尿 L-FABP 可更早期预测慢性肾脏疾病的进展。

本研究 ROC 曲线结果显示,当尿 L-FABP 为 119.8 μg/g·cr 时,尿 L-FABP 比目前普遍应用的尿蛋白更敏感。多元回归分析亦提示 L-FABP 和 eGFR 呈负相关。Oyama 等<sup>[12]</sup>研究发现,CKD 患者血 L-FABP 与尿 L-FABP 水平无相关<sup>[13]</sup>,提示尿液水平不会受血液水平明显影响。

综上述,尿 L-FABP 将会成为早期判定 CGN 病情进展、评估 CGN 预后的有效生物标志物,当然,有待更大规模的临床研究进一步证实。

## 参 考 文 献

- [1] Eddy AA. Experimental insights into the tubulointerstitial disease accompanying primary glomerular lesions. *J Am Soc Nephrol*, 1994, 5: 1273-1287.
- [2] Kamijo A, Kimura K, Sugaya T, et al. Urinary free fatty acids bound to albumin aggravate tubulointerstitial damage. *Kidney Int*, 2002, 62: 1628-1637.
- [3] Arici M, Chana R, Lewington A, et al. Stimulation of proximal tubular cell apoptosis by albumin-bound fatty acids mediated by peroxisome proliferator activated receptorgamma. *J Am Soc Nephrol*, 2003, 14: 17-27.
- [4] Walker PD, Shah SV. Evidence suggesting a role for hydroxyl radical in gentamicin-induced acute renal failure in rats. *J Clin Invest*, 1988, 81: 334-341.
- [5] Pelsers MM, Hermens WT, Glatz JF. Fatty acid-binding proteins as plasma markers of tissue injury. *Clin Chim Acta*, 2005, 352: 15-35.
- [6] Portilla D, Dent C, Sugaya T, et al. Liver fatty acid-binding protein as a biomarker of acute kidney injury after cardiac surgery. *Kidney Int*, 2007, 73: 465-472.
- [7] Ferguson MA, Vaidya VS, Walker SS, et al. Urinary liver-type fatty acid-binding protein predicts adverse outcomes in acute kidney injury. *Kidney Int*, 2010, 77: 708-714.
- [8] Nakamura T, Sugaya T, Koide H. Urinary liver-type fatty acid-binding protein in septic shock: effect of polymyxin B-immobilized fiber hemoperfusion. *Shock*, 2009, 31: 454-459.
- [9] Kamijo A, Sugaya T, Hikawa A, et al. Urinary excretion of fatty acid-binding protein reflects stress overload on the proximal tubules. *Am J Pathol*, 2004, 165: 1243-1255.
- [10] Kamijo A, Kimura K, Sugaya T, et al. Urinary fatty acid binding protein as a new clinical marker for the progression of chronic renal disease. *J Lab Clin Med*, 2004, 143: 23-30.
- [11] Kamijo A, Sugaya T, Kimura K. Urinary fatty acid binding protein in renal disease. *Clinica Chimica Acta*, 2006, 374: 1-7.
- [12] Oyama Y, Takeda T, Hama H, et al. Evidence for megalin-mediated proximal tubular uptake of L-FABP, a carrier of potentially nephrotoxic molecules. *Lab Invest*, 2005, 85: 522-531.
- [13] Kamijo A, Sugaya T, Hikawa A, et al. Urinary liver-type fatty acid binding protein as a useful biomarker in chronic kidney disease. *Mol Cell Biochem*, 2006, 284: 175-182.

(收稿日期:2011-09-26)

(本文编辑:李耀荣)